

01

## **Возбуждение и подавление колебаний в цепочке односторонне связанных элементов с нейроноподобной динамикой**

© Л.А. Сконженко, Л.В. Красичков

Саратовский государственный университет  
E-mail: lvk@cas.ssu.runnet.ru

Поступило в Редакцию 11 ноября 2006 г.

Представлены результаты численных исследований особенностей распространения импульсов в цепочке модельных нейронов Розе–Хиндмарш с односторонне связанной связью при наличии собственной динамики у элементов цепочки. Проведено исследование основных режимов колебаний в модельной цепочке в зависимости от величины параметра связи. На основе детального анализа бассейнов притяжения устойчивой неподвижной точки и периодического аттрактора модельного нейрона предложено объяснение механизма активации и подавления колебаний в цепочке при воздействии прямоугольным импульсом.

PACS: 05.45.Xt, 87.80.-y, 87.18.Sn

В последние десятилетия достигнут значительный прогресс в исследовании поведения биофизических и нейрофизиологических систем на основе методов нелинейной динамики [1–3]. Предпринимаются попытки применения результатов, полученных для систем биофизической природы при построении систем обработки и передачи информации [1,2,4–6]. Особое внимание уделяется анализу моделей нейрофизиологических систем, учитывающих специфику активности биологического нейрона и описываемых системами обыкновенных дифференциальных уравнений. При этом принимают во внимание, что динамика уединенного биологического нейрона характеризуется участками быстрого и медленного изменения переменной состояния. Как правило, на временной реализации биологического нейрона можно выделить три характерных области [1]: 1) „покой“ — изменения переменной состояния не происходит, 2) „спайки“ (spikes) — резкое изменение переменной состояния, 3) „берсты“ (bursts) — группы спайков. Разнообразные динамические режимы модельных нейронов описываются системой Розе–Хиндмарш

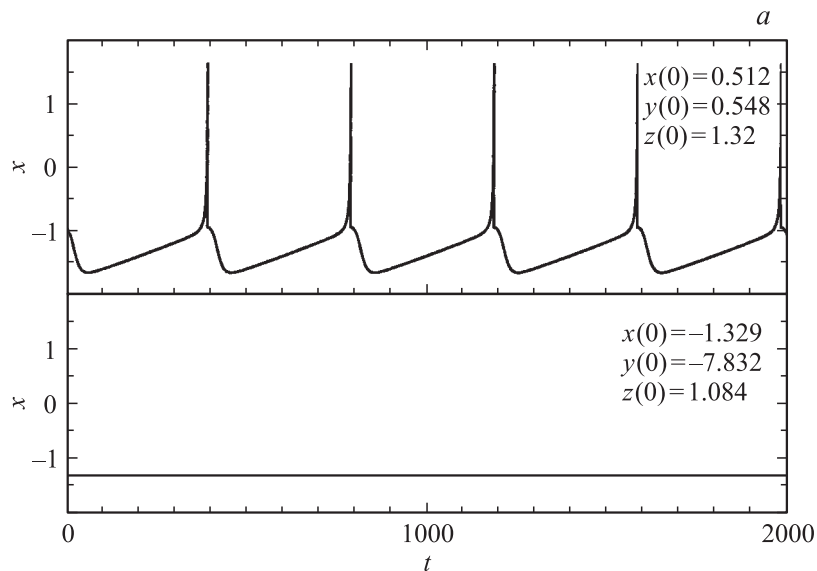
(см., например, [1,7]), которая демонстрирует берстовое и спайковое поведение уединенного нейрона, а также позволяют эффективно исследовать синхронизацию ансамблей нейронов [8–11]. Особый интерес представляют эффекты переключения колебательной активности в ансамблях нейронов под внешним воздействием [12–14]. Цель данной работы состоит в исследовании особенностей активации и подавления колебаний в линии передачи, составленной из модельных нейронов, при импульсном воздействии.

Уравнения, описывающие цепочку модельных нейронов Розе–Хиндмарш с однонаправленной связью, имеют вид

$$\begin{cases} \frac{dx_i}{dt} = y_i + ax_i^2 - bx_i^3 - z_i + I + \varepsilon(x_{i-1} - x_i), \\ \frac{dy_i}{dt} = c - dx_i^2 - y_i, \\ \frac{dz_i}{dt} = r[s(x_i - e) - z_i], \end{cases} \quad (1)$$

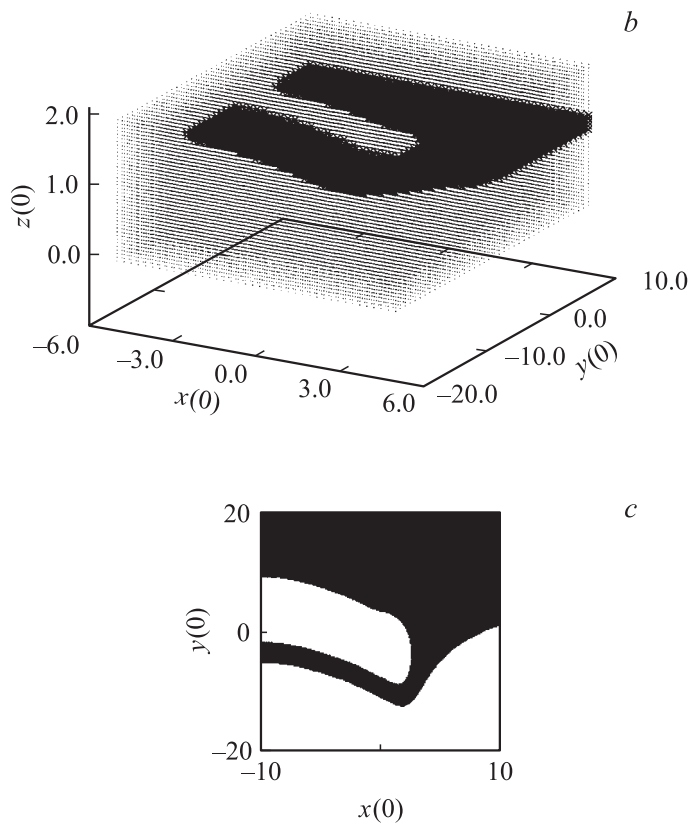
где  $x(t)$  — переменная, характеризующая мембранный потенциал;  $y(t), z(t)$  — переменные, характеризующие „быстрые“ и „медленные“ токи соответственно,  $a, b, c, d, r, s, e, I$  — параметры,  $i$  — номер элемента ( $i = \overline{1, N}$ ),  $N$  — количество элементов в цепочке,  $\varepsilon$  — параметр связи. На одну из границ цепочки подается внешнее воздействие  $x_0$ . Численное моделирование системы (1) проводилось с помощью метода Рунге–Кутты 4-го порядка при шаге интегрирования  $\Delta t = 0.01$  и фиксированных значениях параметров  $a = 3, b = 1, c = 1, d = 5, r = 0.0021, s = 4, e = -1.6$ .

Для выявления особенностей переключения колебательной активности в модельной цепочке (1) был проведен детальный анализ динамики изолированного модельного нейрона при  $\varepsilon = 0, N = 1$  для (1). Проведенный анализ показал, что изолированная система Розе–Хиндмарш в интервале значений управляющего параметра  $I \in [1.269; 1.289]$  демонстрирует бистабильное поведение. При этом в фазовом пространстве сосуществуют два аттрактора: неподвижная устойчивая точка и предельный цикл. Предельный цикл соответствует периодической активности с определенным числом спайков на берсте, устойчивая точка соответствует состоянию, в котором нейрон не генерирует ни спайков на берсте, ни берстов (рис. 1, а). Для выявления значений начальных условий  $(x(0), y(0), z(0))$ , при которых в изолированной системе Розе–Хиндмарш



**Рис. 1.** Временные реализации изолированной системы Розе–Хиндмарш при значении параметра  $I = 1.269$  для различных значений начальных условий  $(x(0), y(0), z(0))$  (a). Бассейны притяжения аттракторов системы при  $I = 1.269$  (b). Бассейны притяжения аттракторов системы на плоскости  $(x(0), y(0))$  при фиксированном значении переменной  $z(0) = 1.084$  (c).

реализуется один из аттракторов, были построены бассейны притяжения аттракторов (рис. 1, b). На рис. 1, b светлым оттенком отмечен бассейн притяжения предельного цикла, темным — бассейн притяжения устойчивой неподвижной точки. Видно, что бассейн притяжения устойчивой неподвижной точки представляет собой слабо деформированный лист, что позволяет рассматривать эволюцию бассейнов притяжения аттракторов только на плоскости  $(x(0), y(0))$  при малом изменении параметра  $I$ . На рис. 1, c представлены бассейны притяжения этих аттракторов на плоскости  $(x(0), y(0))$  при фиксированном значении переменной  $z(0) = 1.084$ . При воздействии на уединенный элемент Розе–Хиндмарш сигналом, имеющим форму прямоугольного импульса заданной амплитуды и длительности, возможен переход между двумя аттракторами.



**Рис. 1** (продолжение).

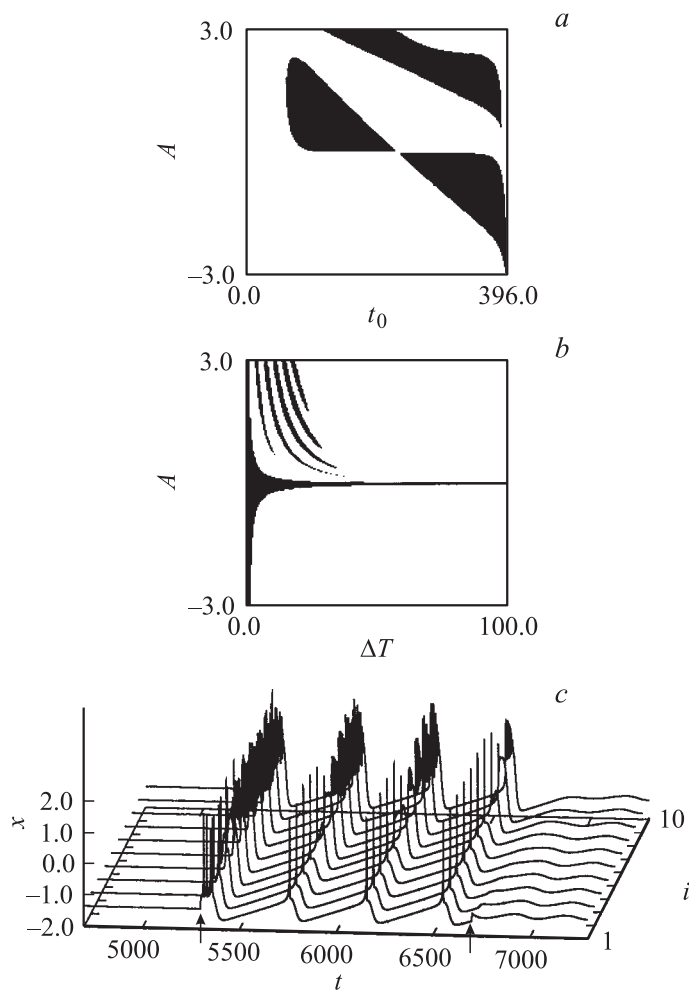
В ходе численных экспериментов выявлено, что прямоугольный импульс очень малой амплитуды ( $A \sim 0.03$ ) и длительности ( $\Delta T \sim 1$ ) позволяет переключать состояние уединенного элемента Розе–Хиндмарш. Это свидетельствует о том, что аттракторы в определенной части фазового пространства находятся на границах бассейнов притяжения, и даже слабое внешнее воздействие приводит к переходу изображающей точки из одной области притяжения в другую. Показано, что основную роль при переключении динамики играет момент внесения внешнего

воздействия. Для исследования влияния момента внесения прямоугольного импульса была построена плоскость параметров „амплитуда внешнего воздействия—время внесения внешнего воздействия“ (рис. 2, *a*). Начальные условия выбирались в области притяжения предельного цикла, т.е. модельный нейрон в отсутствие внешнего воздействия демонстрировал периодические колебания с одним спайком на берсте. Момент внесения импульса  $t_0$  отсчитывался в единицах безразмерного времени от одного из максимальных значений переменной  $x$  (от одного из спайков). Диапазон изменения  $t_0$  в этом случае равнялся межспайковому интервалу ( $t_0 \in [0; 396]$ ). Черным цветом (рис. 2, *a*) обозначены области значений параметров импульса, для которых импульс внешнего воздействия переводит нейрон из состояния периодической активности в состояние покоя, белым — области, для которых импульс внешнего воздействия не изменяет существенно динамику нейрона на длительный интервал времени (переключения состояния не происходит).

На рис. 2, *b* представлена плоскость параметров „амплитуда импульса—длительность импульса“. При построении рис. 2, *b* рассматривалась ситуация, когда до внесения сигнала нейрон находился в состоянии покоя. Белые области соответствуют значениям амплитуды и длительности импульса внешнего воздействия, при которых нейрон переходит из состояния покоя в состояние периодических колебаний. Черным цветом обозначены области на плоскости параметров импульса внешнего воздействия, для которых нейрон не переходит из состояния покоя в состояние периодической активности.

Представленные результаты исследований активности изолированного модельного нейрона Розе—Хиндмарш позволяют провести анализ активации и подавления колебаний в цепочке нейронов (1).

В качестве управляющего параметра был выбран параметр связи  $\varepsilon$ . Входной сигнал  $x_0(t)$  представлял собой однополярный прямоугольный импульс заданной амплитуды  $A$  и длительности  $\Delta T$ . Для исследования особенностей распространения сигнала в линии для различных значений амплитуды  $A$  входного импульса и параметра связи  $\varepsilon$  были построены пространственно-временные диаграммы. Начальные условия для элементов цепочки задавались в области притяжения предельного цикла, т.е. уединенный элемент демонстрировал периодические колебания с одним спайком на берсте. В зависимости от величины параметра связи в цепочке устанавливались различные режимы колебаний: 1) при слабой силе связи первый элемент демонстрировал периодические



**Рис. 2.** Плоскость параметров „амплитуда импульса внешнего воздействия–время внесения внешнего воздействия“ (а). Плоскость параметров „амплитуда импульса внешнего воздействия–длительность импульса внешнего воздействия“ (b). Пространственно-временная диаграмма при  $I = 1.269$ ,  $\varepsilon = 0.9$ ,  $A = 1.0$ ,  $\Delta T = 4$ , где стрелками обозначены моменты внесения импульсов внешнего воздействия (с).

колебания, остальные элементы не генерировали спайковой и берстовой активности; 2) при средней силе связи элементы цепочки демонстрировали непериодическое поведение; 3) при большой величине силы связи все элементы в цепочке демонстрировали периодическое поведение с одним спайком на берсте и постоянным фазовым сдвигом от элемента к элементу.

Полученные результаты позволяют рассмотреть случай, когда начальные условия для элементов цепочки задаются в области притяжения устойчивой неподвижной точки (элементы в отсутствие внешнего воздействия находились в состоянии покоя). Показана возможность переключения активности всех элементов цепочки при воздействии прямоугольного импульса заданной амплитуды и длительности. На рис. 2, с приведена пространственно-временная диаграмма для данного случая. Первый импульс возбуждает колебания во всех элементах цепочки, второй — переводит элементы цепочки в состояние покоя.

Таким образом, в работе показана возможность переключения колебательной динамики в цепочке модельных элементов Розе–Хиндмарш при воздействии прямоугольным импульсом и представлен анализ условий для такого переключения.

## Список литературы

- [1] Абарбанель Г.Д., Рабинович М.И., Селверстон А., Баженов М.В., Хуэрта Р., Суцик М.М., Рубчинский Л.Л. // УФН. 1996. Т. 166. № 4. С. 363–390.
- [2] Анищенко В.С., Астахов В.В., Вадивасова Т.Е., Нейман А.Б., Стрелкова Г.И., Шиманский-Гайер Л. Нелинейные эффекты в хаотических и стохастических системах. Москва–Ижевск: Институт компьютерных исследований, 2003. 544 с.
- [3] Трубецков Д.И., Мчедлова Е.С., Красичков Л.В. Введение в теорию самоорганизации открытых систем. М.: Физматлит, 2005. 212 с.
- [4] Лоскутов А.Ю., Михайлов А.С. Введение в синергетику. М.: Наука, 1990.
- [5] Яхно В.Г. // Нелинейные волны 2002 / Под ред. Гапонова-Грехова А.В., Некоркина В.И. Нижний Новгород: ИПФ РАН, 2003. С. 90–114.
- [6] Mayer J., Schuster H.G., Claussen J.C. // Phys. Rev. E. 2006. V. 73. P. 031 908.
- [7] Hindmarsh J.L., Rose R.M. // J. Proc. Roy. Soc. Lon. B. 1984. V. 221. P. 87.
- [8] Elson R.C., Selverston A., Huerta R., Rulkov N.F., Rabinovich M.I., Abarbanel H.D.I. // Phys. Rev. Lett. 1998. V. 81. N 25. P. 5692–5695.

- [9] *Szucs A., Varona P., Volkovskii A.R., Abarbanel H.D.I., Rabinovich M.I., Selverston A.I.* // *NeuroReport*. 2000. V. 11. N 3. P. 1–7.
- [10] *Pinto R.D., Varona P., Volkovskii A.R., Szucs A., Abarbanel H.D.I., Rabinovich M.I.* // *Phys. Rev. E*. 2000. V. 62. N 2. P. 2644–2656.
- [11] *Rabinovich M.I., Torres J.J., Varona P., Huerta R., Wiedman P.* // *Phys. Rev. E*. 1999. V. 60. N 2. P. R1130–R1133.
- [12] *Rabinovich M.I., Volkovskii A., Lecanda P., Huerta R., Abarbanel H.D.I., Lauret G.* // *Phys. Rev. Lett.* 2001. V. 87. N 6. P. 068 102-4.
- [13] *Andreev K.V., Krasichkov L.V.* // *Nonlinear Phenomena in Complex Systems*. 2003. V. 6. N 4. P. 878–884.
- [14] *Сконженко Л.А., Красичков Л.В.* // *Изв. РАН. Сер. Физ.* 2003. Т. 67. № 12. С. 1697–1700.